

บทที่ 4

ผลการศึกษา

ผลการศึกษาดินบริเวณหนูบ้านเชิงดอย พิกัด 945790 (พิกัดในระบบ UTM) หลังคณาจารย์ สังคมศาสตร์ มหาวิทยาลัยเชียงใหม่ติดกับริมส่วนสัตหีบเชียงใหม่ พบร่องน้ำดินบริเวณนี้มีลักษณะเป็น ดินร่วนปนทราย มีสีน้ำตาลปนเหลือง (ภาพ 4.1) โดยแบ่งการเก็บตัวอย่างเป็นบริเวณผิวดินในระดับความลึกไม่เกิน 10 เซนติเมตร และเก็บตัวอย่างอีกชุดหนึ่งที่ระดับความลึกตั้งแต่ 10 เซนติเมตร โดยแบ่งการเก็บออกเป็น 2 วง ห่างกัน 10 เมตร การเก็บตัวอย่างบริเวณผิวดินในระดับความลึกไม่เกิน 10 เซนติเมตร โซน A (วงที่ 1) ในตำแหน่งหมายเลข A1, A2, A3, A4, A5, A6, A7, A8, A9 ส่วนโซน B (วงที่ 2) เก็บในตำแหน่ง B1, B2, B3, B4, B5, B6, B7, B8, B9 การเก็บตัวอย่างที่ระดับความลึกตั้งแต่ 10 เซนติเมตร ในโซน A ทำการเก็บในตำแหน่ง A1/2, A2/2, A3/2, A4/2, A5/2, A6/2, A7/2, A8/2, A9/2 ส่วนโซน B ทำการเก็บในตำแหน่ง B1/2, B2/2, B3/2, B4/2, B5/2, B6/2, B7/2, B8/2, B9/2 ปรากฏว่าพบแร่ที่เป็นองค์ประกอบในตัวอย่างดินได้แก่ ควอตซ์ (Quartz สาร SiO₂), ไมโครไคลน์ (Microcline สาร KAlSi₃O₈), ออลไบต์ (Albite สาร NaAlSi₃O₈), อิลไลต์ (Illite สาร KAl₂Si₃AlO₁₀(OH)₂) และเคลโอไลต์ (Kaolinite สาร Al₄(OH)₈(Si₄O₁₀)) นั้นพบในตัวอย่างดินที่เก็บในบางตำแหน่งเท่านั้น (ตาราง 4.1) (ตาราง 4.2)



ภาพ 4.1 แสดงลักษณะดินที่ได้จากการเก็บในบริเวณพื้นที่ที่ทำการศึกษา

ตาราง 4.1 แสดงชนิด และปริมาณแร่ที่พบในดินของโซน A (วงที่ 1) บริเวณพิกัด 945790 (พิกัดในระบบ UTM)

Minerals Sample No.	Quartz	Microcline	Albite	Illite	Kaolinite	Total
A1	80.0%	8.0%	12.0%	-	-	100%
A1/2	89.0%	4.3%	6.7%	-	-	100%
A2	91.8%	2.7%	5.5%	-	-	100%
A2/2	85.7%	6.0%	8.3%	-	-	100%
A3	89.0%	3.3%	7.7%	-	-	100%
A3/2	88.7%	4.7%	6.6%	-	-	100%
A4	92.5%	2.8%	4.7%	-	-	100%
A4/2	91.7%	2.8%	4.6%	0.9%	-	100%
A5	87.5%	4.2%	8.3%	-	-	100%
A5/2	88.4%	2.7%	8.0%	0.9%	-	100%
A6	91.0%	3.6%	5.4%	-	-	100%
A6/2	86.8%	4.4%	8.8%	-	-	100%
A7	88.2%	3.4%	8.4%	-	-	100%
A7/2	88.5%	4.8%	6.7%	-	-	100%
A8	90.3%	3.9%	5.8%	-	-	100%
A8/2	85.0%	5.0%	10.0%	-	-	100%
A9	86.4%	4.5%	9.1%	-	-	100%
A9/2	87.6%	3.8%	8.9%	-	-	100%

หมายเหตุ — คือไม่สามารถตรวจพบได้

จากตาราง 4.1 ตัวอย่างดินบริเวณผิวดิน ในระดับความลึกไม่เกิน 10 เซนติเมตร พบรรคວอตซ์ เกลี่ยประมาณ 88.5% แร่ไมโครไคลน์ เกลี่ยประมาณ 4.0% แร่แอลไบต์ เกลี่ยประมาณ 7.4% ส่วนแร่อิลไลต์ และแร่เคโอลีนิต ไม่สามารถตรวจพบได้ในบริเวณผิวดินของโซน A

ตัวอย่างดินที่ระดับความลึกตั้งแต่ 10 เซนติเมตร พบรรคວอตซ์ เกลี่ยประมาณ 87.9% แร่ไมโครไคลน์ เกลี่ยประมาณ 4.3% แร่แอลไบต์ เกลี่ยประมาณ 7.6% แร่อิลไลต์ เกลี่ยประมาณ 0.9% ในบริเวณนี้ไม่สามารถตรวจพบแร่เคโอลีนิต ได้

ตาราง 4.2 แสดงชนิด และปริมาณแร่ที่พบในดินของโซน B (วงที่ 2) บริเวณพิกัด 945790 (พิกัดในระบบ UTM)

Minerals Sample No.	Quartz	Microcline	Albite	Illite	Kaolinite	Total
B1	91.9%	8.1%	-	-	-	100%
B1/2	87.7%	4.9%	7.4%	-	-	100%
B2	85.6%	5.4%	9.0%	-	-	100%
B2/2	85.9%	6.5%	7.6%	-	-	100%
B3	82.1%	4.7%	9.4%	1.9%	1.9%	100%
B3/2	89.8%	6.1%	4.1%	-	-	100%
B4	88.8%	4.3%	6.9%	-	-	100%
B4/2	87.4%	6.3%	6.3%	-	-	100%
B5	89.6%	3.8%	6.6%	-	-	100%
B5/2	86.9%	5.1%	8.0%	-	-	100%
B6	89.4%	4.4%	6.2%	-	-	100%
B6/2	81.3%	3.9%	14.8%	-	-	100%
B7	85.9%	7.8%	6.3%	-	-	100%
B7/2	90.3%	3.5%	6.2%	-	-	100%
B8	87.8%	6.1%	6.1%	-	-	100%
B8/2	84.1%	7.4%	8.5%	-	-	100%
B9	83.3%	7.2%	9.5%	-	-	100%
B9/2	82.7%	7.4%	9.9%	-	-	100%

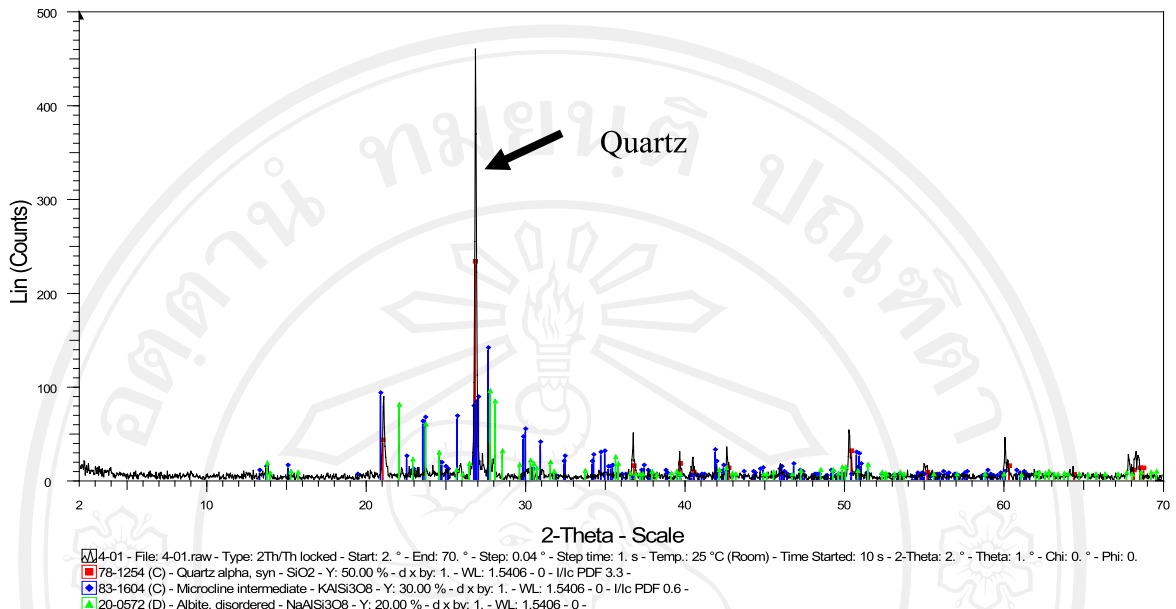
หมายเหตุ — คือไม่สามารถตรวจพบได้

จากตาราง 4.2 ตัวอย่างดินบริเวณผิวดินในระดับความลึกไม่เกิน 10 เซนติเมตร พบรรคota ควอตซ์ เนลี่ยประมวล 87.2% แร่ไมโครไคลน์ เนลี่ยประมวล 5.8% แร่แอลไบต์ เนลี่ยประมวล 7.5% แร่อิลไลต์ เนลี่ยประมวล 1.9% และแร่เคโอลайнต์ เนลี่ยประมวล 1.9%

ตัวอย่างดินที่ระดับความลึกตั้งแต่ 10 เซนติเมตร พบรรคota ควอตซ์ เนลี่ยประมวล 86.2% แร่ไมโครไคลน์ เนลี่ยประมวล 5.7% แร่แอลไบต์ เนลี่ยประมวล 8.1% ส่วนแร่อิลไลต์ และแร่เคโอลайнต์ ไม่สามารถตรวจพบได้ในบริเวณดินที่ระดับความลึกตั้งแต่ 10 เซนติเมตร โซน B

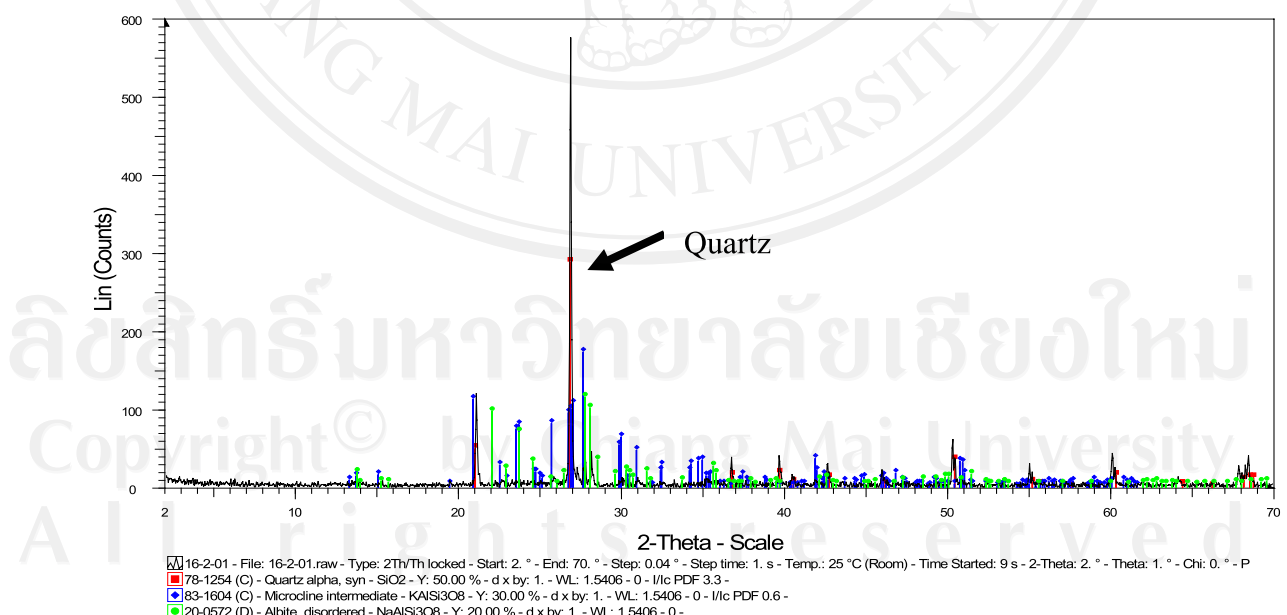
ตัวอย่างรูปแบบการเดี่ยวบนรังสีเอกซ์ที่พบร่องแร่ควอตซ์ (ภาพ 4.2 และ ภาพ 4.3) และไมโครไคลน์ (ภาพ 4.4 และ ภาพ 4.5) แร่แอลไบต์ (ภาพ 4.6 และ ภาพ 4.7)

4-01



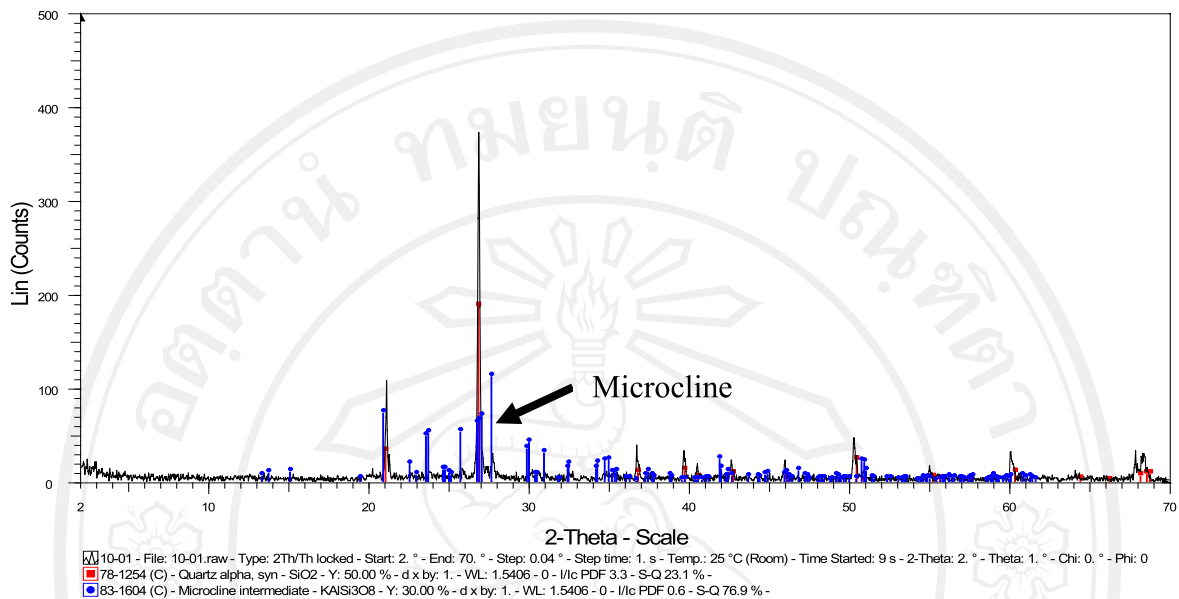
ภาพ 4.2 แสดงรูปแบบการเลี้ยวเบนรังสีเอกซ์ของแร่ covarianceที่พับบริเวณผิวดินในระดับความลึกไม่เกิน 10 เซนติเมตร ของตัวอย่างหมายเลข A4

เก็บ 10 เซนติเมตร ของตัวอย่างหมายเลข A4
16-2-01



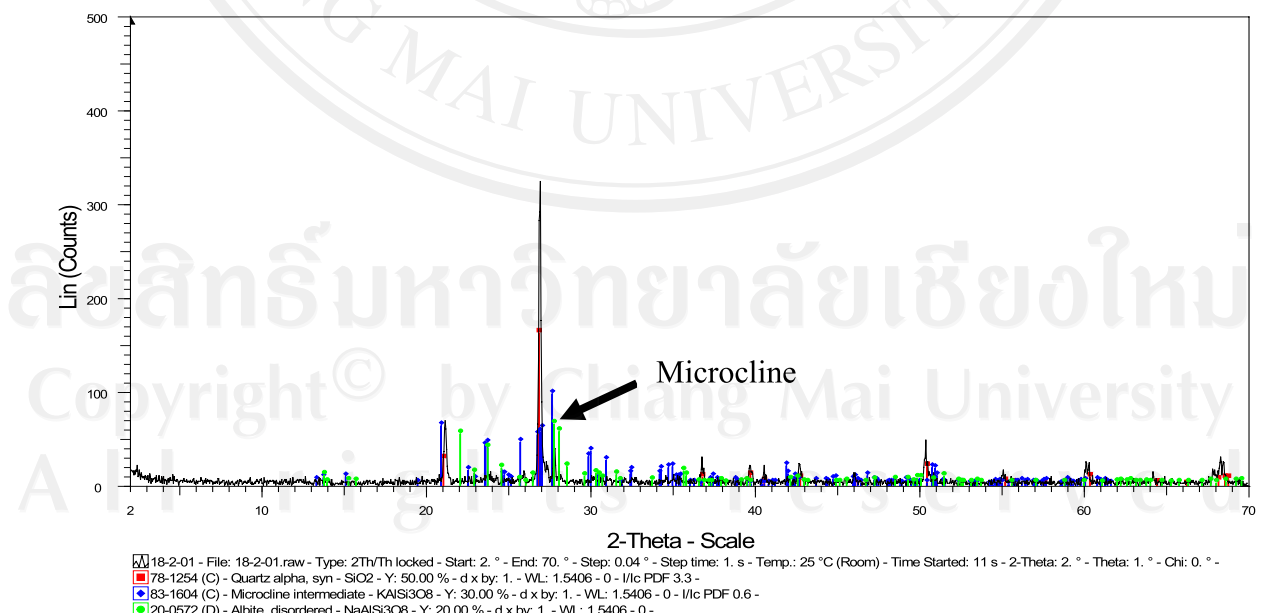
ภาพ 4.3 แสดงรูปแบบการเลี้ยวเบนรังสีเอกซ์ของแร่ covarianceที่พับบริเวณดินที่ระดับความลึกตั้งแต่ 10 เซนติเมตร ของตัวอย่างหมายเลข B7/2

10-01

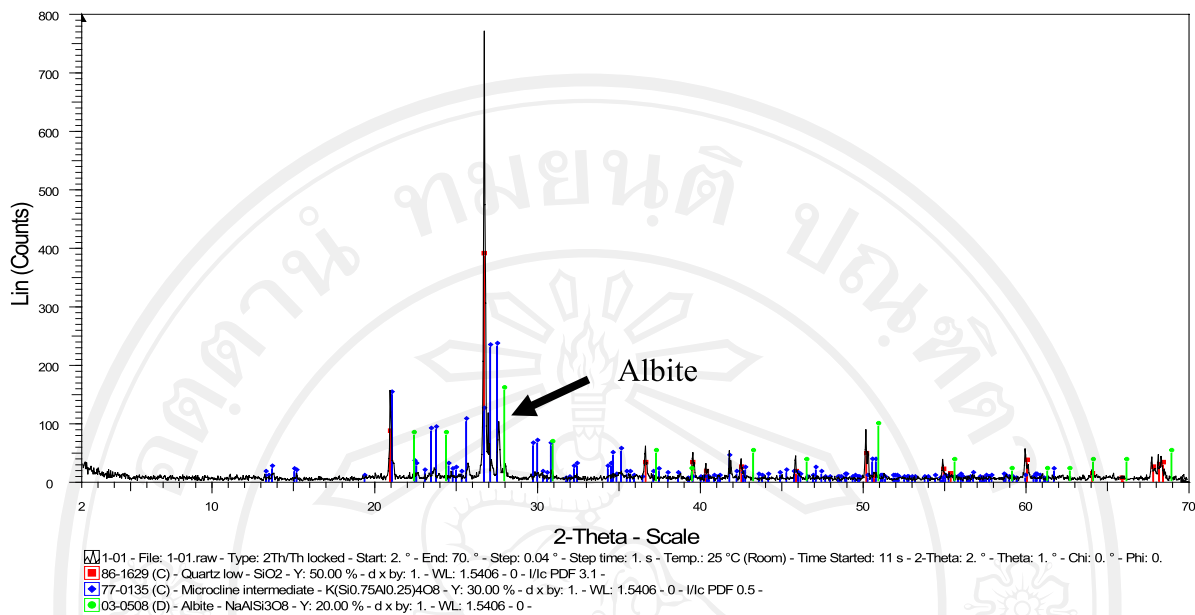


ภาพ 4.4 แสดงรูปแบบการเลี้ยวเบนรังสีเอกซ์ของแร่ในโครงไคลน์ที่พับบริเวณผิวดินในระดับความลึกไม่เกิน 10 เซนติเมตร ของตัวอย่างหมายเลข B1

18-2-01



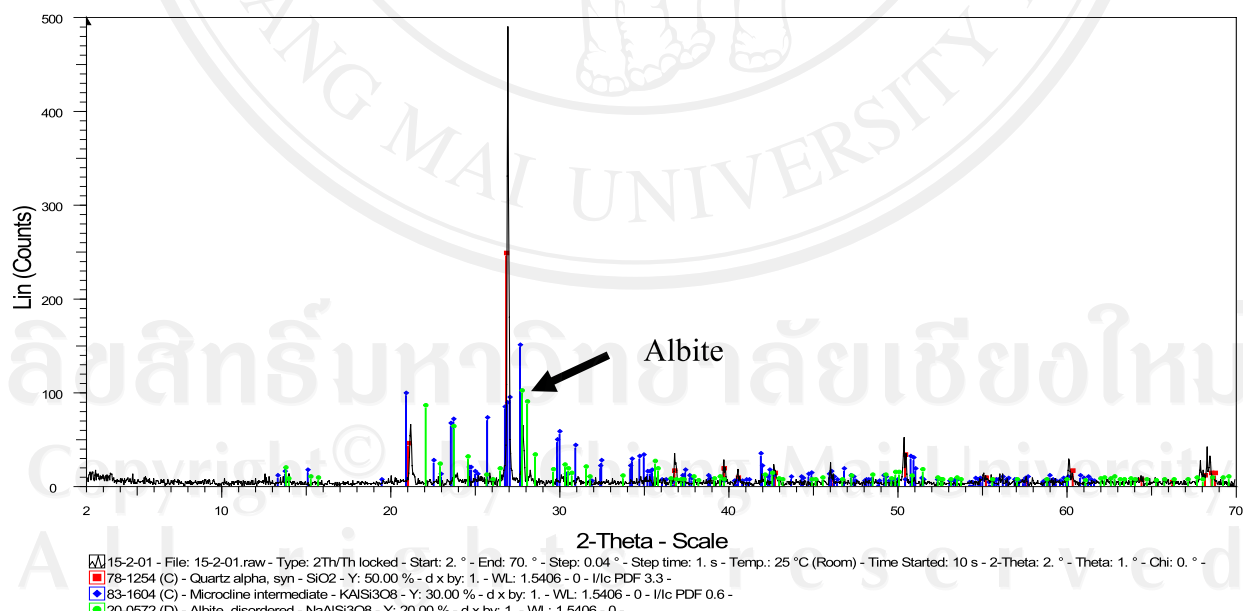
ภาพ 4.5 แสดงรูปแบบการเลี้ยวเบนรังสีเอกซ์ของแร่ในโครงไคลน์ที่พับบริเวณดินที่ระดับความลึกตั้งแต่ 10 เซนติเมตร ของตัวอย่างหมายเลข B9/2



ภาพ 4.6 แสดงรูปแบบการเดี่ยวเบนรังสีเอกซ์ของแร่แอลไบต์ที่พับบริเวณผิวดินในระดับความลึก

ไม่เกิน 10 เซนติเมตร ของตัวอย่างหมายเลข A1

15-2-01



ภาพ 4.7 แสดงรูปแบบการเดี่ยวเบนรังสีเอกซ์ของแร่แอลไบต์ที่พับบริเวณดินที่ระดับความลึกตั้งแต่

10 เซนติเมตร ของตัวอย่างหมายเลข B6/2